

06

Световые пули в периодически неоднородной среде ориентированных углеродных нанотрубок в оптическом резонаторе

© М.Б. Белоненко, И.С. Двужилов[✉], Ю.В. Двужилова, С.В. Борознин

Волгоградский государственный университет,
400062 Волгоград, Россия

[✉] e-mail: dvuzhilov.ilya@volsu.ru

Поступила в редакцию 20.09.2018 г.

В окончательной редакции 23.11.2018 г.

Принята к публикации 04.12.2018 г.

Рассмотрена задача о динамике распространения трехмерных предельно коротких оптических импульсов в оптическом резонаторе в периодически неоднородной среде ориентированных углеродных нанотрубок. Численно показано, что такие импульсы демонстрируют устойчивое и стабильное распространение. Кроме того, показано, что, варьируя параметрами неоднородной среды, можно управлять скоростью распространения импульса, а также модифицировать его форму.

DOI: 10.21883/OS.2019.04.47519.279-18

Введение

Неотъемлемый интерес в рамках нелинейной оптики, особо привлекающий исследователей, принадлежит световым пучкам или предельно коротким оптическим импульсам. Такое к себе внимание они получили за уникальный характер и динамику распространения [1,2]. Исследование эволюции световых пучков показало неустойчивое распространение импульса в вакууме или в линейных средах, т.е. импульс уширяется в силу дисперсионных эффектов. Поэтому для устойчивого распространения необходима нелинейная среда, в которой эффекты, связанные с дисперсией, могли бы компенсироваться нелинейными эффектами [3–5]. Перспективным элементом, обладающим необычными свойствами в рамках нелинейной оптики, являются углеродные нанотрубки (УНТ). Простота их строения, уникальность свойств способствуют развитию исследований в области распространения оптических импульсов, разработке оптических приборов на их основе, но основным и немаловажным качеством, которым обладают углеродные нанотрубки, — это возможность их использования в качестве среды для образования световых пучков [6–10]. Интересным является то, что распространение оптических импульсов было рассмотрено в однородной среде УНТ, которая не позволяет управлять скоростью импульса. Для возможности управления параметрами импульса, такими как скорость и время задержки, необходимо провести дополнительную модуляцию показателя преломления среды.

Так, была предложена модель распространения светового импульса в неоднородной среде. Подобная среда дает возможность управлять не только скоростью распространения, но и, например, поперечной структурой [11–14]. Заметим, что на практике имеются затруднения в создании сред такого рода, включающих в себя УНТ и обладающих пространственно модулированным

показателем преломления. Объективным выходом из данной ситуации будет получение сред, распределение УНТ в которых будет неоднородно, что приведет к возникновению пространственной модуляции показателя преломления и к возможному изменению скорости распространения оптического импульса и временем задержки импульса в такой среде.

Интерес вызывает и распространение трехмерного предельно короткого оптического импульса в неоднородной среде УНТ, притом помещенной внутрь оптического резонатора.

Основные уравнения

Предполагаемая система будет смоделирована следующим образом: трехмерный предельно короткий оптический импульс распространяется в неоднородной среде УНТ типа zig-zag в оптическом резонаторе, причем электрическое поле направлено вдоль оси нанотрубок (рис. 1).

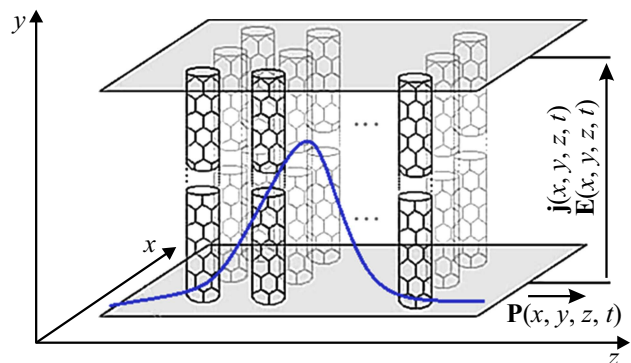


Рис. 1. Геометрия задачи. Ток $\mathbf{j}(x, y, z, t)$ и электрическое поле импульса $\mathbf{E}(x, y, z, t)$ направлены вдоль оси УНТ, вектор Пойнтинга — вдоль оси распространения импульса.

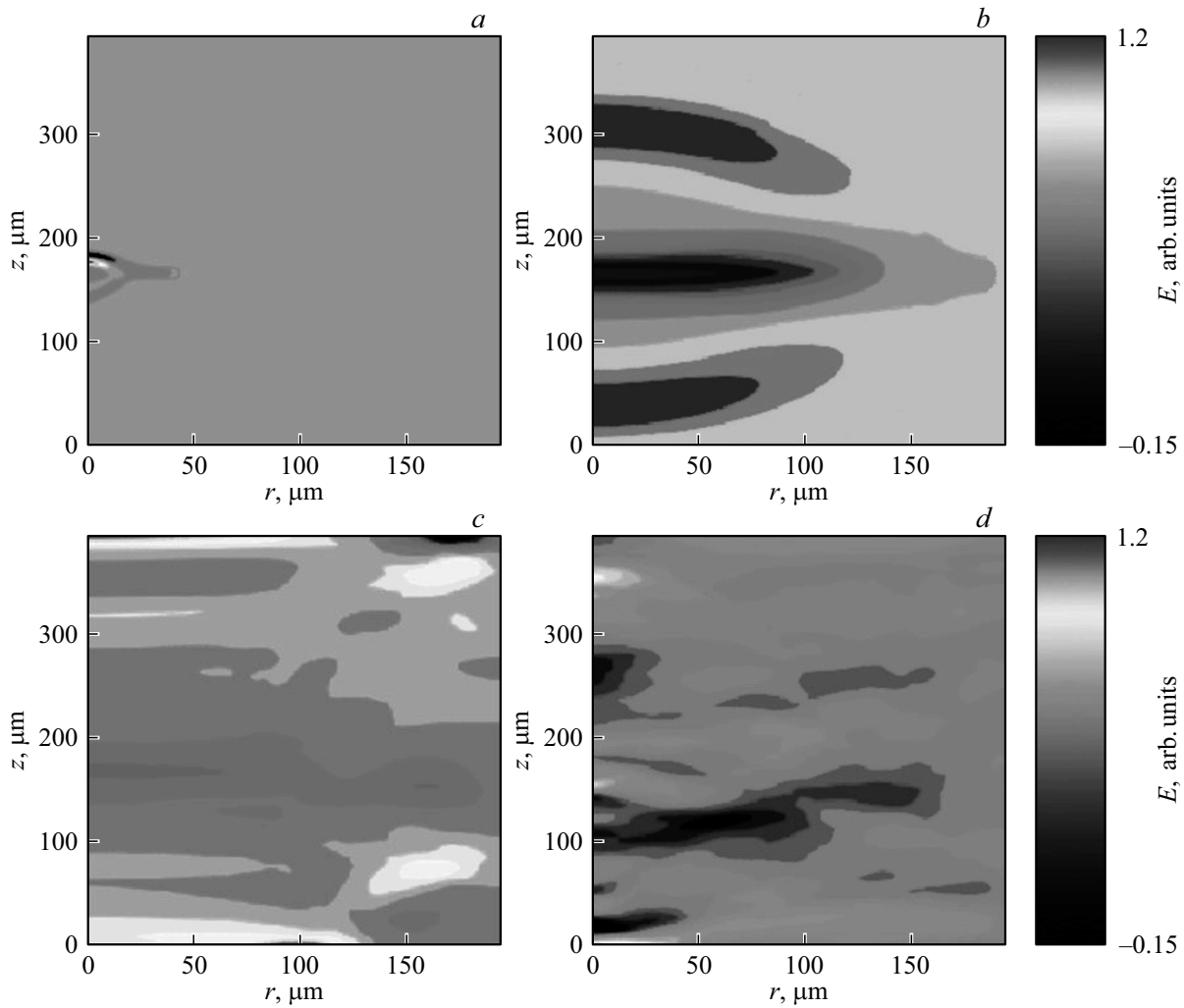


Рис. 2. Распространение световой пули в среде УНТ в оптическом резонаторе в различные моменты времени t : a — $1.6 \cdot 10^{-12}$ s, b — $16.6 \cdot 10^{-12}$ s, c — $33.3 \cdot 10^{-12}$ s, d — $76.6 \cdot 10^{-12}$ s.

Гамильтониан системы электронов можно записать в виде

$$H = \gamma \sum_{j\Delta\sigma} a_{j\sigma}^+ a_{j+\Delta\sigma} + h.c.,$$

где $a_{j\sigma}^+$, $a_{j\sigma}$ — операторы рождения и уничтожения электронов на узле j со спином σ . γ — интеграл перескока, определяемый перекрытием волновых функций электронов в соседних узлах.

При помощи фурье-преобразования

$$\begin{aligned} a_{n\sigma}^+ &= \frac{1}{N^{1/2}} \sum_j a_{j\sigma}^+ \exp(ijn), \\ a_{n\sigma} &= \frac{1}{N^{1/2}} \sum_j a_{j\sigma} \exp(-ijn), \end{aligned} \quad (1)$$

которое диагонализует гамильтониан H , легко получить спектр электронов, описывающий свойства электронной подсистемы в отсутствие кулоновского отталкивания $\varepsilon_s(p)$. Для углеродных нанотрубок типа zig-zag

он имеет вид [15–19]

$$\varepsilon_s(p) = \pm \gamma \sqrt{1 + 4 \cos(ap) \cos(\pi s/m) + 4 \cos^2(\pi s/m)}, \quad (2)$$

где $s = 1, 2, \dots, m$, нанотрубка имеет тип $(m, 0)$, $\gamma \approx 2.7$ eV, $a = 3b/2\hbar$, $b = 0.142$, m — расстояние между соседними атомами углерода, p — квазиимпульс.

Уравнения Максвелла можно записать в виде [20]

$$\frac{\partial^2 \mathbf{E}}{\partial z^2} + \frac{1}{r} \frac{\partial}{\partial r} \left(r \frac{\partial \mathbf{E}}{\partial r} \right) - \frac{1}{c^2} \frac{\partial^2 \mathbf{A}}{\partial t^2} + \frac{4\pi}{c} \frac{\partial \mathbf{j}}{\partial t} + \frac{4\pi}{c^2} \frac{\partial^2 \mathbf{P}}{\partial t^2} = 0, \quad (3)$$

где \mathbf{E} — электрическое поле световой волны, \mathbf{j} — плотность электрического тока, t — время, c — скорость света в среде, $\mathbf{P} = \mu \mathbf{E}$, где \mathbf{P} — вектор поляризации, μ — коэффициент линейной восприимчивости, $r = \sqrt{x^2 + y^2}$, а слагаемое, зависящее от угла поворота, стремится к нулю, так как предполагается цилиндрическая симметрия. В настоящей работе рассмотрена простейшая

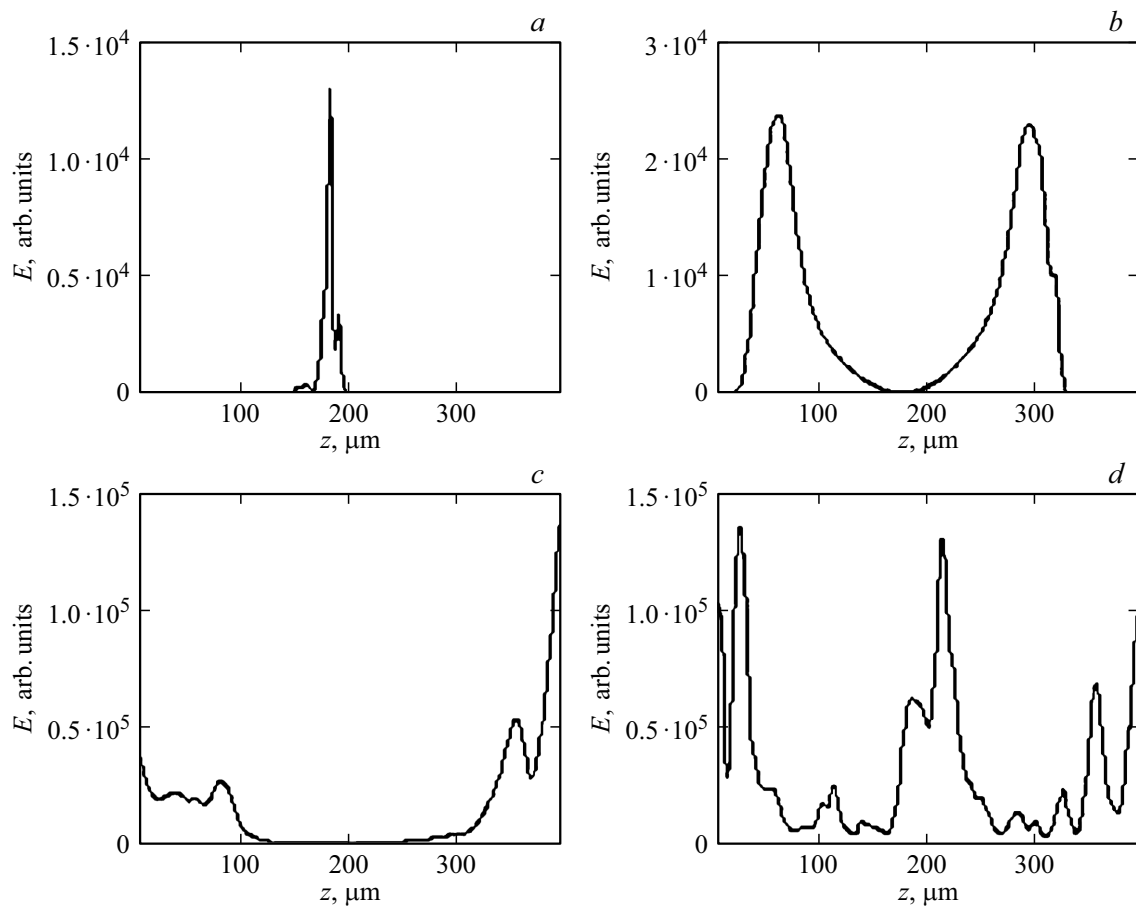


Рис. 3. Срезы, проходящие через определенную точку оси z и показывающие всю энергию импульса, сосредоточенную в сечении резонатора, вдоль оси z в различные моменты времени t : a — $1.6 \cdot 10^{-12}$ s, b — $16.6 \cdot 10^{-12}$ s, c — $33.3 \cdot 10^{-12}$ s, d — $76.6 \cdot 10^{-12}$ s.

модель линейной среды, в которой вектор поляризации параллелен вектору \mathbf{E} .

Модифицируем уравнение (3), учитывая кулоновскую калибровку для описания распространения импульсов с широким спектром в нелинейной среде:

$$\mathbf{E} = -\frac{1}{c} \frac{\partial \mathbf{A}}{\partial t}.$$

Интегрируя (3) один раз по времени, несложно убедиться в том, что обобщением уравнения (3) на случай линейной среды является уравнение вида

$$\frac{\partial^2 \mathbf{A}}{\partial z^2} + \frac{1}{r} \frac{\partial}{\partial r} \left(r \frac{\partial \mathbf{A}}{\partial r} \right) - \frac{1}{c^2} (1 + 4\pi\mu) \frac{\partial^2 \mathbf{A}}{\partial t^2} + \frac{4\pi}{c} \mathbf{j} = 0, \quad (4)$$

Вектор-потенциал \mathbf{A} считается имеющим вид $\mathbf{A}(0, A(r, z, t), 0)$, а плотность тока — соответственно $\mathbf{j}(0, j(r, z, t), 0)$.

Запишем стандартное выражение для плотности тока

$$j = en(z, r) \sum_{ps} v_s \left(p - \frac{e}{c} A(t) \right) \langle a_{ps}^+ a_{ps} \rangle, \quad (5)$$

где $v_s = \partial \varepsilon_s(p) / \partial p$, а скобки означают усреднение с неравновесной матрицей плотности $\rho(t)$:

$\langle B \rangle = \text{Sp}(B(0)\rho(t))$. Учитывая, что $[a_{ps}^+ a_{ps}, H] = 0$, из уравнений движения для матрицы плотности сразу получаем $\langle a_{ps}^+ a_{ps} \rangle = \langle a_{ps}^+ a_{ps} \rangle_0$, где $\langle B \rangle_0 = \text{Sp}(B(0)\rho(0))$, $n(z, r)$ — плотность УНТ.

Учтем, что $\rho_0 = \exp(-H/kT) / \text{Sp}(\exp(-H/kT))$ (k — постоянная Больцмана, T — температура), и, разлагая $v_s(p)$ в ряд Фурье, получим

$$v_s \left(p - \frac{e}{c} A(t) \right) = \sum_k A_{ks} \left(\sin(kp) \cos\left(\frac{ke}{c} A(t)\right) - \cos(kp) \sin\left(\frac{ke}{c} A(t)\right) \right),$$

где

$$A_{ks} = \int_{-\pi/a}^{\pi/a} v_s(p) \sin(kp) dp$$

— убывающие с ростом индекса k коэффициенты разложения.

Учитывая, что функция распределения $\rho(0)$ — четная функция квазиимпульса p , которая при усреднении с

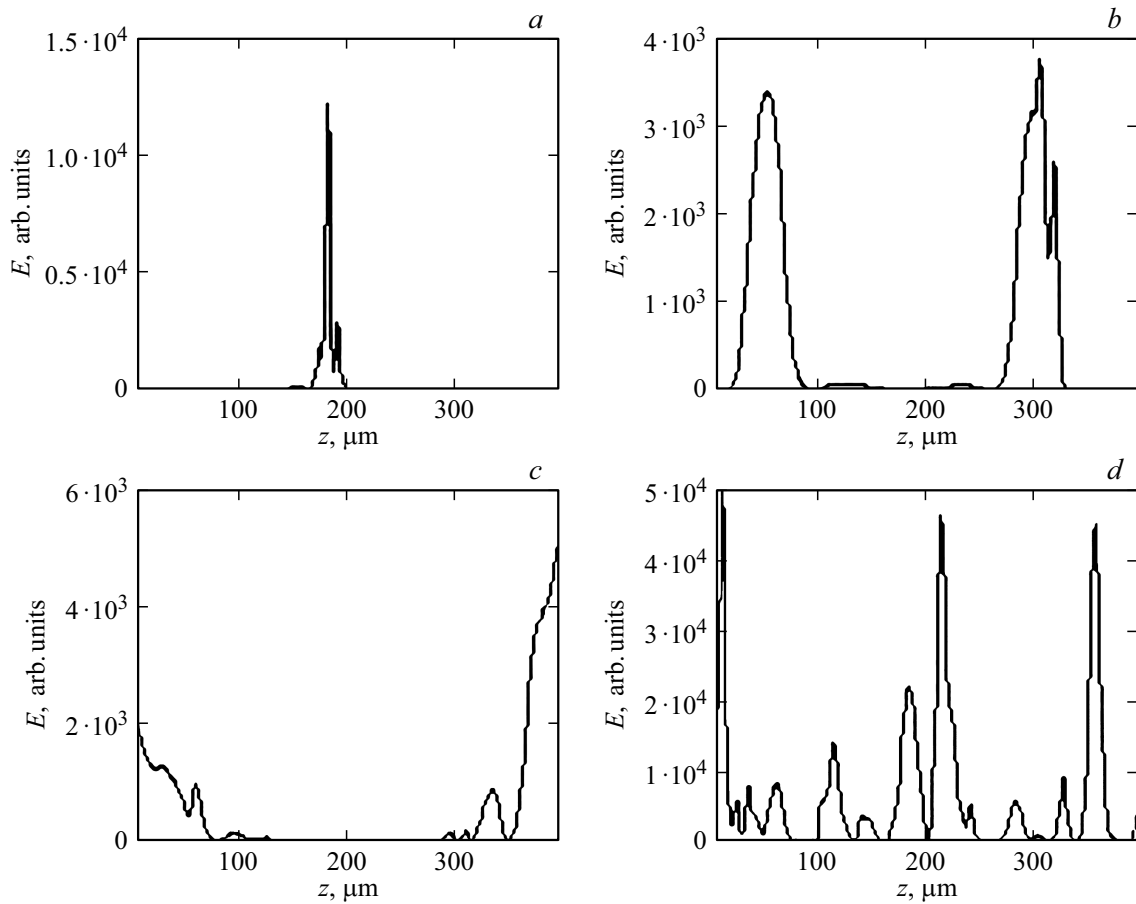


Рис. 4. Срезы интенсивности светового поля вблизи оси z цилиндрического резонатора в моменты времени t : $a — 1.6 \cdot 10^{-12}$ s, $b — 16.6 \cdot 10^{-12}$ s, $c — 33.3 \cdot 10^{-12}$ s, $d — 76.6 \cdot 10^{-12}$ s.

$\sin(kp)$ даст ноль, можно записать

$$v_s \left(p - \frac{e}{c} A(t) \right) = - \sum_k A_{ks} \cos(kp) \sin\left(\frac{ke}{c} A(t)\right). \quad (6)$$

Подставляя получившийся результат в (5) и выполняя суммирование по s и p , имеем

$$j = -en_0 \sum_k B_k \sin\left(\frac{ke}{c} A(t)\right),$$

$$B_k = \sum_{s=1}^m \int_{-\pi/a}^{\pi/a} dp A_{ks} \cos(kp) \frac{\exp(-\beta \epsilon_s(p))}{1 + \exp(-\beta \epsilon_s(p))},$$

где n_0 — концентрация равновесных электронов в углеродных нанотрубках, $\beta = 1/kT$. Учитывая все вышесказанное, уравнение (4) после перехода к безразмерным переменным может быть представлено в виде

$$\frac{\partial^2 \tilde{A}}{\partial z^2} + \frac{1}{r} \frac{\partial}{\partial r} \left(r \frac{\partial \tilde{A}}{\partial r} \right) - \frac{1}{c^2} \frac{\partial^2 \tilde{A}}{\partial t^2} + \frac{4\pi}{c} n(z, r) \tilde{j} = 0, \quad (7)$$

где \tilde{A} — эффективный вектор-потенциал, \tilde{j} — эффективная плотность тока. В (7) введен коэффициент $n(z, r)$,

который учитывает распределение УНТ в пространстве. Далее в численных расчетах это распределение будет задано в виде $n(z, r) = 1 + \alpha \cos(2\pi z/\chi)$, где α задает глубину модуляции нелинейности, а χ — период модуляции. Отметим, что в настоящей работе рассматривается модуляция во всех направлениях. Оптический же резонатор считался имеющим цилиндрическую форму и моделировался путем введения отражательных граничных условий на границе цилиндра и введения периодических граничных условий вдоль оси цилиндра.

Отметим, что уравнение (7) является обобщением широко известного уравнения Синус-Гордона.

Начальные условия на вектор-потенциал задавались в следующем виде:

$$A(z, r, 0) = Q \exp\left(-\frac{(z - z_0)^2}{\gamma_z}\right) \exp\left(-\frac{r^2}{\gamma_r}\right),$$

$$\frac{\partial A(z, r, 0)}{\partial t} = \frac{2Qvz}{\gamma_z} \exp\left(-\frac{(z - z_0)^2}{\gamma_z}\right) \exp\left(-\frac{r^2}{\gamma_r}\right).$$

Здесь Q — амплитуда импульса; γ_z, γ_r — ширины импульса в направлении z и r соответственно, v — начальная скорость импульса.

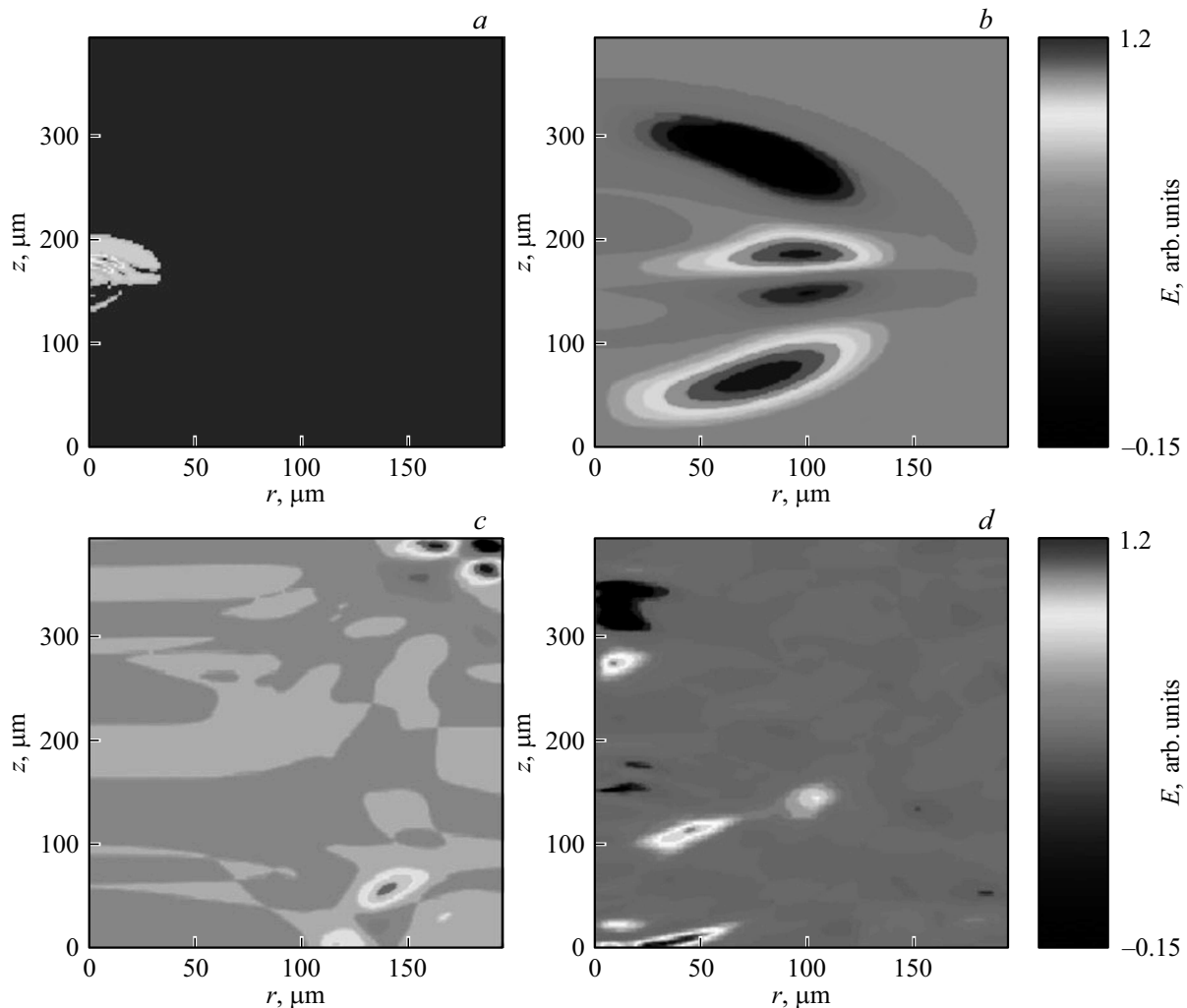


Рис. 5. Значение компоненты вектора Пойнтинга вдоль оси r в среде УНТ в оптическом резонаторе в различные моменты времени t : a — $1.6 \cdot 10^{-12}$ s, b — $16.6 \cdot 10^{-12}$ s, c — $33.3 \cdot 10^{-12}$ s, d — $76.6 \cdot 10^{-12}$ s.

Расчет, представленный на рис. 2, иллюстрирует, что импульс на больших временах остается сосредоточенным вдоль оси цилиндрического резонатора, и в этом смысле можно говорить об устойчивом распространении световой пули. Более подробно это иллюстрируется на рис. 3, 4, где приведены срезы, проходящие через определенную точку оси z и показывающие всю энергию импульса, сосредоточенную в сечении резонатора, в различные моменты времени, а также срезы интенсивности светового поля вблизи оси z цилиндрического резонатора (т.е. энергию, сосредоточенную в малой области вблизи оси резонатора в зависимости от положения вдоль оси z).

Само же формирование такой устойчивой структуры происходит за счет отражения волн от стенок резонатора и последующей интерференции. Такое взаимодействие позволяет уменьшить ширину импульса в направлении, поперечном оси резонатора. Значения соответствующего вектора Пойнтинга представлены на рис. 5, где проиллюстрировано первоначальное уши-

рение импульса к стенкам резонатора и последующее возвращение светового поля обратно к оси резонатора.

Выводы

Результатом проведенного исследования является следующее.

1. Распространение трехмерного предельно короткого оптического импульса (световой пули) в периодически неоднородной среде ориентированных углеродных нанотрубок в оптическом резонаторе оказалось устойчивым.
2. На больших временах импульс остается локализованным вдоль оси цилиндрического резонатора.
3. Формирование устойчивой структуры происходит за счет отражения волн от стенок резонатора и последующей интерференции. Подобное взаимодействие позволяет уменьшить ширину импульса в направлении, поперечном оси резонатора.

Исследование выполнено при финансовой поддержке РФФИ и Администрации Волгоградской области в рамках научного проекта № 18-42-343007.

Список литературы

- [1] *Fibich G., Ilan B.* // Opt. Lett. 2004. V. 29. N 8. P. 887. doi 10.1364/OL.29.000887
- [2] *Dodd P., Эйлбек Дж., Гиббон Дж., Моррис Х.* Солитоны и нелинейные волновые уравнения. М.: Мир, 1988. 696 с.; *Dodd R.K., Eilbeck J.C., Gibbon J.D., Morris H.C.* Solitons and Nonlinear Wave Equations. London: Academic Press, 1982.
- [3] *Schafer T., Wyane C.E.* // Physica D. 2004. V. 196. P. 90–105. doi 10.1016/j.physd.2004.04.007
- [4] *Kazantseva E.V., Maimistov A.I., Malomed B.A.* // Opt. Commun. 2001. V. 188. P. 195–204. doi 10.1016/S0030-4018(00)01143-3
- [5] *Kurizki G., Kozhekin A., Opatrny T., Malomed B.* Optical Solitons in Periodic Media with Resonant and off-Resonant Nonlinearities. Progress in Optics / Ed. by Wolf E. North-Holland: Elsevier, 2001. V. 42. P. 93–146. doi 10.1016/S0079-6638(01)80016-0
- [6] *Белоненко М.Б., Демушкина Е.В., Лебедев Н.Г.* // ФТТ. 2008. Т. 50. № 2. С. 368.
- [7] *Белоненко М.Б., Лебедев Н.Г., Попов А.С.* // Письма в ЖЭТФ. 2010. Т. 91. № 9. С. 506.
- [8] *Zhukov A.V., Bouffanais R., Belonenko M.B., Konobeeva N.N., Nevzorova Yu.V., George T.F.* // Eur. Phys. J. D. 2015. V. 69. doi 10.1140/epjd/e2015-50895-y
- [9] *Leblond H., Mihalache D.* // Phys. Rev. A. 2012. V. 86. P. 043832. doi 10.1103/PhysRevA.86.043832
- [10] *Leblond H., Mihalache D.* // Phys. Rep. 2013. V. 523. N 2. P. 61. doi 10.1016/j.physrep.2012.10.006
- [11] *Zhukov A.V., Bouffanais R., Fedorov E.G., Belonenko M.B.* // J. Appl. Phys. 2013. V. 114. P. 143106.
- [12] *Zhukov A.V., Bouffanais R., Belonenko M.B., Dvuzhilov I.S.* // Phys. Lett. A. 2017. V. 381. P. 931.
- [13] *Belonenko M.B., Nevzorova Yu.V.* // Izvestiya RAN. Seriya fizicheskaya. 2014. V. 78. P. ... doi 1619. 10.7868/S0367676514120035
- [14] *Fedorov E.G., Zhukov A.V., Bouffanais R., Timashkov A.P., Malomed B.A., Leblond H., Mihalache D., Rosanov N.N., Belonenko M.B.* // Phys. Rev. A. 2018. V. 97. N 043814. P. 4. doi 10.1103/PhysRevA.97.043814
- [15] *Baughman R.H., Zakhidov A.A., de Heer W.A.* // Science. 2002. V. 297. P. 787. doi 10.1126/science.1060928
- [16] *Iijima S.* // Nature. 1991. V. 354. P. 56. doi 10.1038/354056a0
- [17] *Iijima S., Ichihashi T.* // Nature. 1993. V. 363. P. 603. doi 10.1038/363603a0
- [18] *Saito R., Dresselhaus G., Dresselhaus M.S.* Physical Properties of Carbon Nanotubes. Singapore: World Scientific, 1998. 259 p.
- [19] *Belonenko M.B., Nevzorova Yu.V., Galkina E.N.* // Mod. Phys. Lett. B. 2015. V. 29. P. 155041. doi 10.1142/S0217984915500414
- [20] *Ландау Л.Д., Лифшиц Е.М.* Теория поля. М.: Физ.-мат. лит., 1988. 536 с.